

PMT3306 - Módulo “Mecânica da Fratura e plasticidade” - Material de apoio

Cláudio Geraldo Schön

Departamento de Engenharia Metalúrgica e de Materiais
Escola Politécnica da Universidade de São Paulo

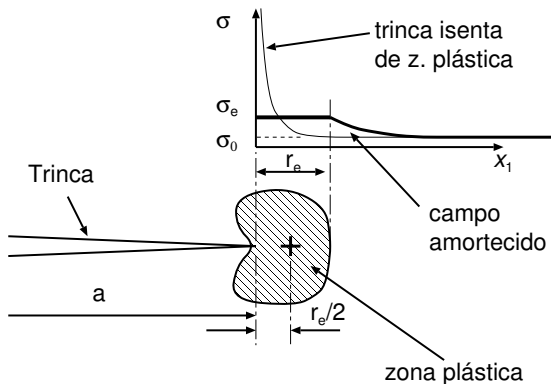
24 de setembro de 2020

Modelo de Irwin – Orowan

$$\gamma = \gamma_S + \gamma_P$$

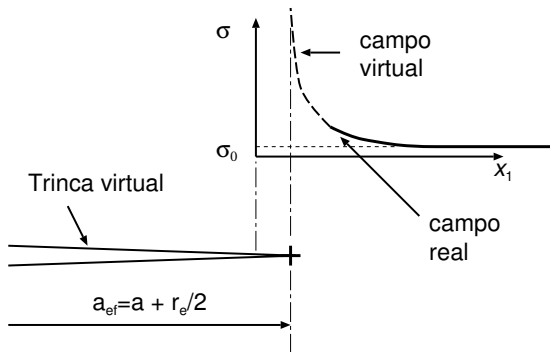
Blindagem pela zona plástica

Small scale yielding



Blindagem pela zona plástica

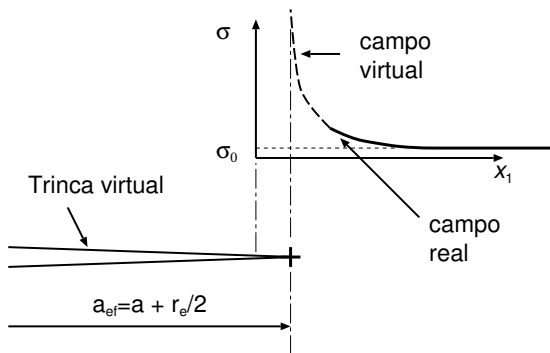
Small scale yielding



$$r_e \sim \frac{1}{2\pi} \left(\frac{K}{\sigma_e} \right)^2$$

Blindagem pela zona plástica

Small scale yielding



$$r_e \sim \frac{1}{6\pi} \left(\frac{K}{\sigma_e} \right)^2 \quad (\text{EPD})$$

Estimativa da forma da zona plástica

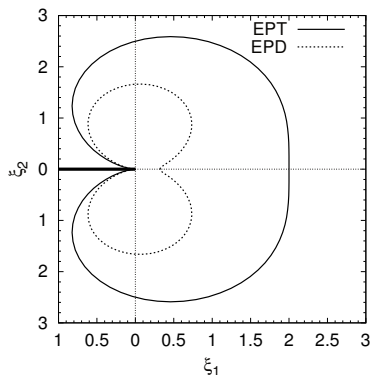
Resolvendo as equações do campo de Irwin:

$$r_e = \frac{K^2}{2\pi\sigma_e^2} \left[1 + \cos \theta + \frac{3}{2} \sin^2 \theta \right]$$

no EPT e

$$r_e = \frac{K^2}{2\pi\sigma_e^2} \left[(1 - 2\nu)^2 (1 + \cos \theta) + \frac{3}{2} \sin^2 \theta \right]$$

no EPD.



$$\xi_{(1,2)} = x_{(1,2)} \times \left(\frac{2\pi\sigma_e^2}{K^2} \right)$$

Modelo de Dugdale

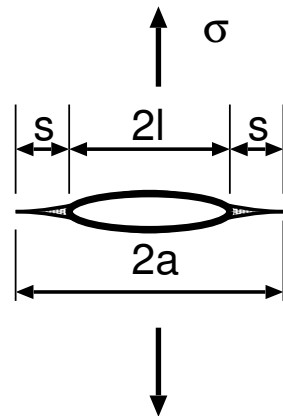
Investigando crescimento de trincas em chapas metálicas (EPT).

Definindo as variáveis:

$$x = a \cosh \alpha$$

e

$$l = a \cos \beta$$



Modelo de Dugdale

Investigando crescimento de trincas em chapas metálicas (EPT).

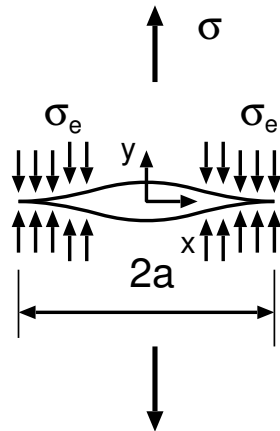
$$\sigma_{y=0} = -\frac{2\sigma_e\beta}{\pi\alpha}$$

e

$$\sigma_{y=0} = \frac{\sigma}{\alpha}$$

com

$$\sigma - \frac{2\sigma_e\beta}{\pi} = 0$$



Modelo de Dugdale

Investigando crescimento de trincas em chapas metálicas (EPT).

Usando a definição de β .

$$\frac{s}{a} = 2 \sin^2 \left(\frac{\pi \sigma}{4 \sigma_e} \right)$$

ou

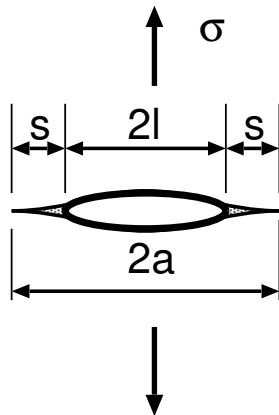
$$\frac{s}{a} \simeq 1 - \left(\frac{\pi}{2} \right) \left(1 - \frac{\sigma}{\sigma_e} \right)$$

então

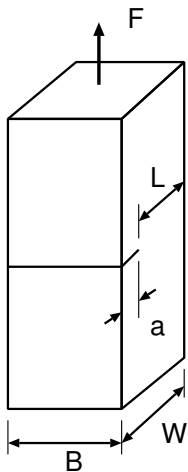
$$r_e \simeq \frac{\pi}{8} \left(\frac{K}{\sigma_e} \right)^2$$

mas

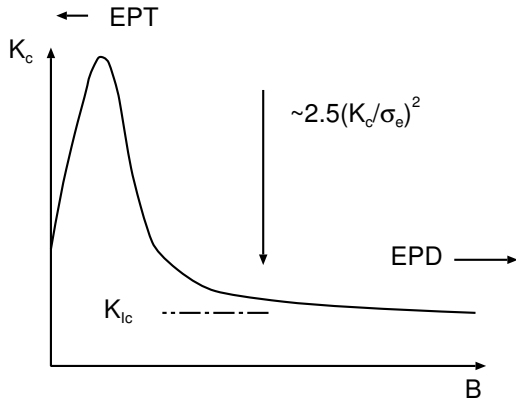
$$\frac{\pi}{8} \sim \frac{1}{\pi}$$



Efeitos da geometria da amostra



$$2.5 \left(\frac{K_c}{\sigma_e} \right)^2 > X$$



Ensaio de tenacidade à fratura no EPD

Plane strain fracture toughness test

Norma **ASTM E1820-08a**:

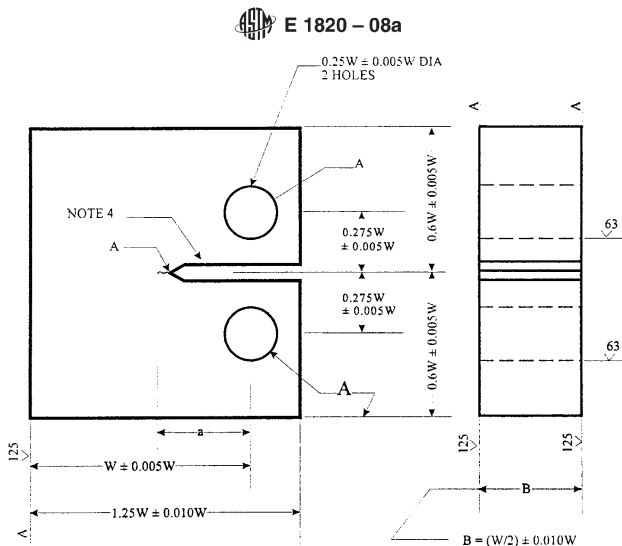
- K_{Ic} ,
- CTOD,
- J

“A propriedade K_{Ic} determinada por este método de ensaio caracteriza a resistência do material à fratura em um ambiente neutro na presença de uma trinca com pequeno raio de curvatura na ponta sobre uma restrição severa em tração, tal que o estado de tensão na ponta da trinca se aproxima do EPD, e a zona plástica na ponta da trinca é pequena em relação às dimensões da amostra na direção da restrição.”

Características do ensaio

Geometrias:

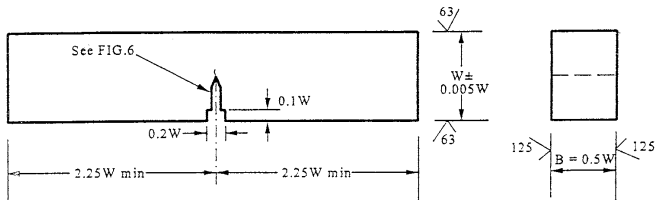
- C(T)
- SENB
- DC(T)



Características do ensaio

Geometrias:

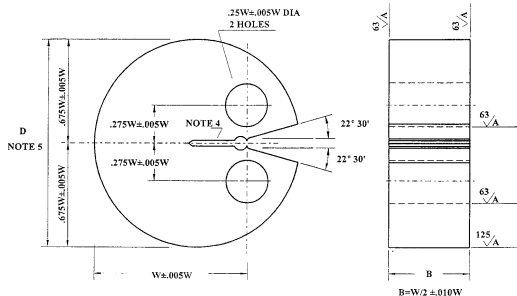
- C(T)
- **SENB**
- DC(T)



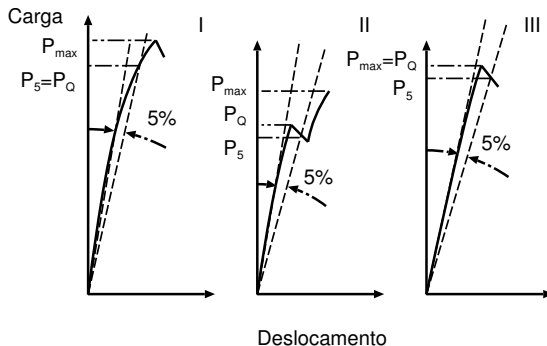
Características do ensaio

Geometrias:

- C(T)
- SENB
- DC(T)



Curvas típicas obtidas no ensaio



Procedimento do ensaio

- Calcule $\frac{P_{MAX}}{P_Q}$, se este valor for maior que 1,10 o ensaio não produzirá um resultado válido para K_{Ic} e deverá ser descartado.
- Calcule o valor condicional K_Q correspondente a P_Q usando as fórmulas tabuladas para a geometria específica do corpo de prova.
- Calcule $2,5 \left(\frac{K_Q}{\sigma_e} \right)^2$, se essa quantidade for menor que a espessura da amostra e que o comprimento inicial da pré-trinca e que o comprimento do ligamento do corpo de prova o ensaio será válido e teremos que $K_{Ic} = K_Q$.
- Se o espécimen falhar no último requisito, será necessário usar um corpo de prova maior.

Ensaio de CTOD

Crack tip opening displacement

Wells:

No limite da MFEL:

Segundo Irwin:

$$\text{CTOD} = \delta = \frac{4}{\pi} \frac{K^2}{\sigma_e E}$$

Segundo Dugdale:

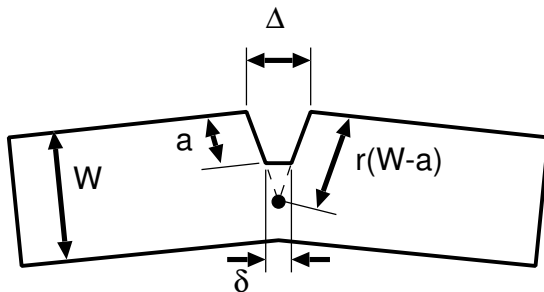
$$\text{CTOD} = \delta = \frac{K^2}{\sigma_e E}$$

Em geral:

$$\delta = \frac{K^2}{\lambda \sigma_e E}$$

Geometria do ensaio

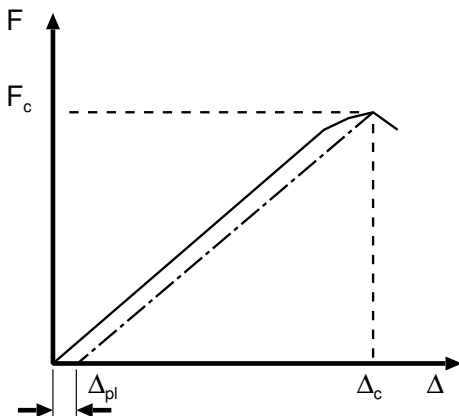
Norma da BWS



$$\delta = \frac{r(W-a)\Delta}{r(W-a) + a} \quad (0 \leq r \leq 1)$$

Procedimento do ensaio

$$\delta = \delta_{el} + \delta_{pl} = \frac{K_c}{\lambda \sigma_e E} + \frac{r_{pl} (W - a) \Delta_{pl}}{r_{pl} (W - a) + a}$$



Parâmetros do ensaio

- δ_{IC} : CTOD medido próximo ao início da propagação estável de trinca (ou “*pop-in*”) definido como ocorrido a $\Delta a_p = 0.2 \text{ mm} + 0.7\delta_{IC}$, onde Δa_p é a parcela plástica da propagação estável da trinca medida no ensaio.
- δ_c : CTOD medido próximo ao início da propagação instável de trinca (ou “*pop-in*”) quando esta ocorre com $\Delta a_p < 0.2 \text{ mm} + 0.7\delta_{IC}$,
- δ_u : CTOD medido no início da propagação instável de trinca (ou “*pop-in*”) quando o evento ocorre com $\Delta a_p > 0.2 \text{ mm} + 0.7\delta_{IC}$
- A norma define ainda δ_c^* como o valor medido na propagação instável de trinca sem ser precedido por crescimento estável significativo.

A curva de projeto por CTOD

CTOD design curve

Wells:

$$\delta \approx 2\pi\varepsilon_e a$$

Estimativa de maior CTOD admissível:

$$\delta_c = 2\pi\varepsilon_e B$$

A curva de projeto por CTOD

CTOD design curve

Dugdale, Burdekin, Stone:

$$\delta = \frac{8\varepsilon_e a}{\pi} \ln \sin \left(\frac{2}{\pi} \frac{\sigma}{\sigma_e} \right)$$

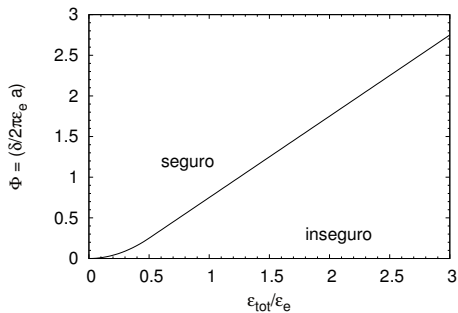
Parâmetro adimensional, Φ :

$$\Phi = \frac{\delta}{2\pi\varepsilon_e a} = \frac{4}{\pi^2} \ln \sin \left(\frac{\pi}{2} \frac{\sigma}{\sigma_e} \right)$$

A curva de projeto por CTOD

CTOD design curve

$$\Phi = \begin{cases} \left(\frac{\varepsilon_{tot}}{\varepsilon_e} \right)^2 & \frac{\varepsilon_{tot}}{\varepsilon_e} \leq 0,5 \\ \left(\frac{\varepsilon_{tot}}{\varepsilon_e} - 0,25 \right) & \frac{\varepsilon_{tot}}{\varepsilon_e} > 0,5 \end{cases}$$

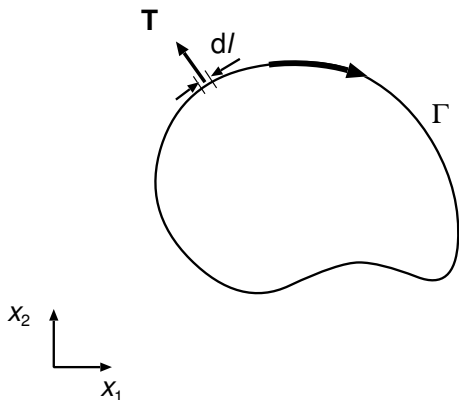


Definição de J

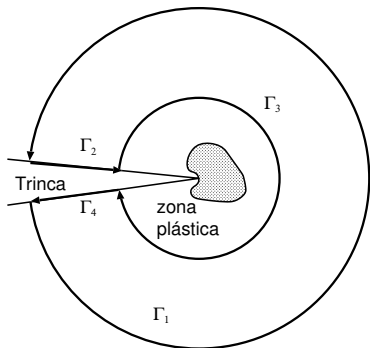
Cherepanov (1967) e Rice (1968) independentemente, usando um resultado devido a Eshelby (1951):

$$J = \int_{\Gamma} \left(w_{el} dx_2 - \mathbf{T} \cdot \frac{\partial \mathbf{u}}{\partial x_1} dl \right)$$

Independente do caminho de integração em materiais não lineares elásticos (com $w_{el} = \sigma_{ij} d\varepsilon_{ij}$).

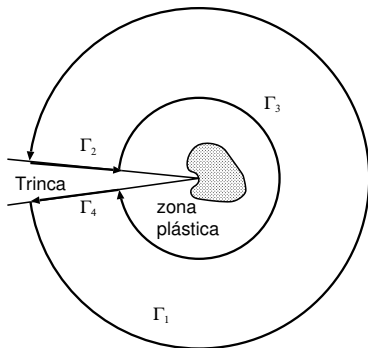


Aplicação de J a trincas



$$J_{\Gamma_1} + J_{\Gamma_3} = 0 \Rightarrow J_{\Gamma_1} = J_{-\Gamma_3}$$

Aplicação de J a trincas



$$J_{\Gamma_1} + J_{\Gamma_3} = 0 \Rightarrow J_{\Gamma_1} = J_{-\Gamma_3}$$

Na prática:

$$J \equiv \frac{dU}{da}$$

O campo HRR

Hutchinson, Rice, Rosengren

Material descrito por uma relação constitutiva de Ramberg-Osgood:

$$\frac{\sigma_{ij}}{\sigma_e} = \left(\frac{J}{\varepsilon_e \sigma_e \varepsilon_0 l_n r} \right)^{\frac{1}{1+n'}} f_{ij}(n', \theta)$$

$$\frac{\varepsilon_{ij}}{\varepsilon_e} = \frac{\varepsilon_0}{E} \left(\frac{J}{\varepsilon_e \sigma_e \varepsilon_0 l_n r} \right)^{\frac{n'}{1+n'}} g_{ij}(n', \theta)$$

onde l_n , f_{ij} e g_{ij} são funções adimensionais do coeficiente de encruamento e do ângulo θ .

Uso (e equivalência) de CTOD e J

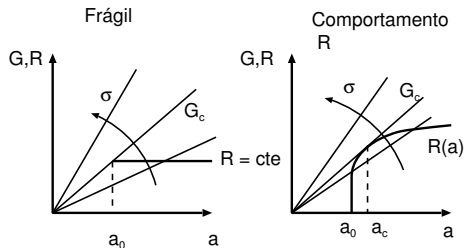
ASTM E 1820-08a:

Manda fazer ensaio de J e obtém δ usando:

$$\lambda = -0,111 + 0,817 \frac{a}{W} + 1,36 \frac{\sigma_u}{\sigma_e}$$

Estudo da *Japan Engineering Welding Society* comparou norma ASTM com a da BWS → equivalência depende da razão elástica ($\frac{\sigma_u}{\sigma_e} > 0,8$).

Curva R



Irwin:

$$\frac{\partial G}{\partial a} = \frac{\partial R}{\partial a}$$

Da definição de G temos:

$$G = \frac{K^2 (1 - \nu^2)}{E} = \frac{\pi \sigma^2 a (1 - \nu^2)}{E}$$

Relação entre as medidas de tenacidade à fratura

- 1 Abordagem geométrica (de campo) K, δ
- 2 Abordagem energética G, J
- 3 Abordagem mista J

$$J = G = \frac{K^2}{E'} = \lambda \sigma_e \delta$$

onde $E' = E$ no EPT e $\frac{E}{(1-\nu^2)}$ no EPD e $1 \leq \lambda \leq 2$.

O segundo parâmetro de tenacidade

Da solução completa do campo HRR:

$$\sigma_{ij} = A_{ij} r^{-\frac{1}{1+n'}} f_{ij}^{(1)}(n', \theta) + B_{ij} r^t f_{ij}^{(2)}(n', \theta) + C_{ij} r^u f_{ij}^{(3)}(n', \theta) + \dots$$

O segundo parâmetro de tenacidade

Williams *et al.* reescrevem:

$$\sigma_{ij} = \sigma_e \left[\left(\frac{J}{\varepsilon_0 \varepsilon_e \sigma_e l n r} \right)^{\frac{1}{1+n'}} f_{ij}^{(1)} + Q \left(\frac{r \sigma_e}{J} \right)^t f_{ij}^{(2)} + \dots \right]$$

O segundo parâmetro de tenacidade

Estes autores mostraram que para uma ampla faixa de valores de n' ($4 \leq n' \leq 20$) $t \approx 0$ e neste caso o segundo termo representará uma tensão finita e constante, superposta ao campo HRR:

$$\sigma_{ij} = (\sigma_{ij})_{HRR} + Q\sigma_e\delta_{i1}\delta_{1j}$$

onde δ_{ij} é o delta de Kronecker.

O segundo parâmetro de tenacidade

No regime a MFLE:

$$\sigma_{ij} = \frac{K}{\sqrt{2\pi r}} \begin{bmatrix} f_{11}^{(1)} & f_{12}^{(1)} \\ f_{21}^{(1)} & f_{22}^{(1)} \end{bmatrix} + T \begin{bmatrix} 1 & 0 \\ 0 & 0 \end{bmatrix}$$

O segundo parâmetro de tenacidade

No regime a MFLE:

$$\sigma_{ij} = \frac{K}{\sqrt{2\pi r}} \begin{bmatrix} f_{11}^{(1)} & f_{12}^{(1)} \\ f_{21}^{(1)} & f_{22}^{(1)} \end{bmatrix} + T \begin{bmatrix} 1 & 0 \\ 0 & 0 \end{bmatrix}$$

Abordagem $J - Q$ (ou $K - T$).

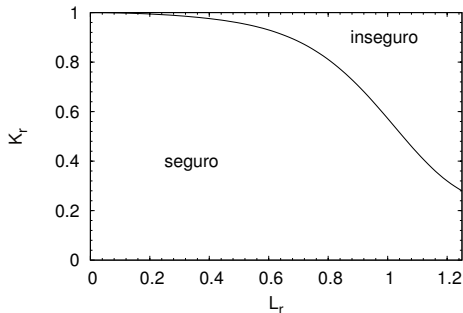
Diagrama de prognóstico de falha

Protocolo R/H/R6 - terceira revisão

$$L_r = \frac{\sigma}{\sigma_e}$$

$$L_{max} = \frac{\sigma_u}{\sigma_e}$$

com



Primeira versão:

$$\begin{cases} K_r = (1 - 0,14L_r^2) [0,3 + 0,7 \exp(-0,65L_r^6)] & (L_r \leq L_{max}) \\ K_r = 0 & (L_r > L_{max}) \end{cases}$$

Diagrama de prognóstico de falha

Protocolo R/H/R6 - terceira revisão

Segunda versão:

$$\begin{cases} K_r = \left[\frac{E\varepsilon^r(L_r\sigma_e)}{L_r\sigma_e} + \frac{L_r^3\sigma_e}{2E\varepsilon^r(L_r\sigma_e)} \right]^{-\frac{1}{2}} & (L_r \leq L_{max}) \\ K_r = 0 & (L_r > L_{max}) \end{cases}$$

Usa a informação de curvas tensão - deformação medidas em ensaio de tração.

Diagrama de prognóstico de falha

Protocolo R/H/R6 - terceira revisão

Terceira versão:

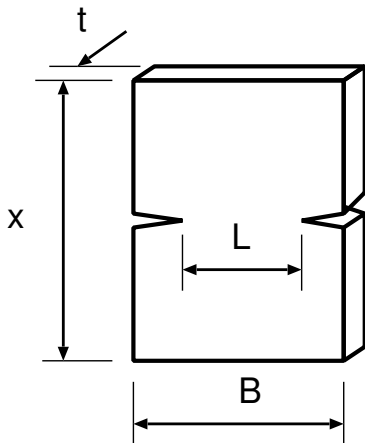
$$K_r = \left(\frac{J_{el}}{J_R} \right)^{\frac{1}{2}}$$

Usa métodos numéricos (Elementos finitos) e curvas $J - R$ medidas.

Trabalho essencial de fratura

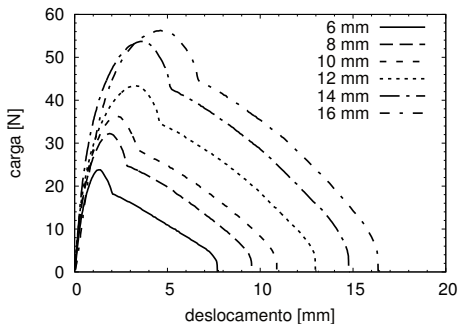
Essential work of fracture, EWF

Corpo de prova DENT (*Double-edge notched tensile*)



Trabalho essencial de fratura

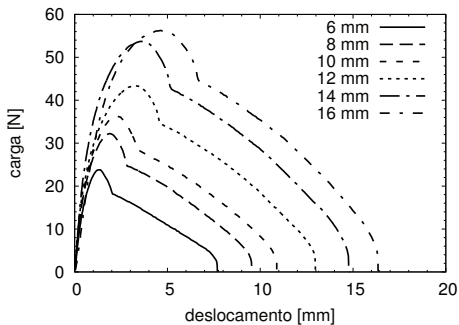
Essential work of fracture, EWF



$$W_f = w_{ef}Lt + \beta w_{pf}L^2t$$

Trabalho essencial de fratura

Essential work of fracture, EWF



$$W_f = W_{ef} + \beta W_{pf} L$$

Trabalho essencial de fratura

Essential work of fracture, EWF

